



Raport

z badań poziomu natężenia pola elektrycznego
w otoczeniu stacji bazowej:

JEL3066

na podstawie sprawozdania P4/275/2021 udostępnionego przez A-CONNECT Anna Garwol-Porosa

Laboratorium prowadzące badania

A-CONNECT Anna Garwol-Porosa
Strażacka 3/2
58-370 Boguszów-Gorce
692 692 875

Zleceniodawca badań

P4 Sp. z o.o.

02-677 Warszawa
790 500 500
kontakt@play.pl

Nr akredytacji: AB 1284

Data wydania sprawozdania: 19.10.2021

Raport zawiera wybrane elementy sprawozdania i służy wyłącznie obrazowemu przedstawieniu informacji o danej instalacji. Raport nie może być wykorzystywany w postępowaniach administracyjnych.

Informacje ogólne

Zgodność z metodyką RMK: Tak

Ograniczenia: Na podstawie art. 122a ust. 1b ustawy Prawo ochrony środowiska (t.j. Dz.U. z 2020 r., poz. 1219, 1378, 1565, 2127, 2338, z 2021 r. poz. 802, 868, 1047, 1162, 1535.), pomiary PEM w lokalach mieszkalnych i użytkowych zlokalizowanych w obszarze pomiarowym badanej stacji bazowej nie zostały przeprowadzone.

Wykorzystanie w obszarze regulowanym: Tak

Przedmiot badań

Identyfikator stacji w UKE	JEL3066
Operator	P4 Sp. z o.o.
Współrzędne	15,5305555; 50,8218055
Rodzaj pracy	ciągła
Rodzaj wytwarzanego pola	stacjonarne

Miejsce badań

Otoczenie stacji bazowej JEL3066 w lokalizacji Szklarska Poręba, ul. 1 Maja 36A, dz. nr 735.

Cel badań

1. Zweryfikowanie zgodności z wymaganiami rozporządzenia Ministra Zdrowia z dnia 19 grudnia 2019 r.

Opis stacji bazowych

Tabela 1: Opis anten badanych stacji bazowych

Lp.	Identyfikator stacji w UKE	Typ Producent anteny	Azymut	H	EIRP	Pasma	Tilt	Tilt w trakcie pomiarów
			[°]	[m]	[W]	[MHz]	[°]	[°]
1		AHP4519R1v06 Huawei	2	13,60	1979	LTE 800	2,0 - 2,0	2,0
					1979	UMTS 900	2,0 - 2,0	2,0
					1979	LTE 1800	2,0 - 12,0	2,0
					1979	LTE 2100	2,0 - 12,0	2,0
					1979	LTE 2600	2,0 - 12,0	2,0
					1979	LTE 1800	2,0 - 12,0	2,0
					1979	LTE 2100	2,0 - 12,0	2,0
					1979	LTE 2600	2,0 - 12,0	2,0
2	JEL3066	AHP4519R1v06 Huawei	92	13,60	1979	LTE 800	0,0 - 0,0	0,0
					1979	UMTS 900	0,0 - 0,0	0,0
					1979	LTE 1800	0,0 - 0,0	0,0
					1979	LTE 2100	0,0 - 0,0	0,0
					1979	LTE 2600	0,0 - 0,0	0,0
					1979	LTE 1800	0,0 - 0,0	0,0
					1979	LTE 2100	0,0 - 0,0	0,0
					1979	LTE 2600	0,0 - 0,0	0,0
3		AHP4519R1v06 Huawei	272	13,60	1979	LTE 800	2,0 - 2,0	2,0
					1979	UMTS 900	2,0 - 2,0	2,0
					1979	LTE 1800	2,0 - 9,0	2,0
					1979	LTE 2100	2,0 - 9,0	2,0
					1979	LTE 2600	2,0 - 9,0	2,0
					1979	LTE 1800	2,0 - 9,0	2,0
					1979	LTE 2100	2,0 - 9,0	2,0
					1979	LTE 2600	2,0 - 9,0	2,0

Warunki pomiarów

Pomiary w wyznaczonych punktach wykonano w następujących warunkach:

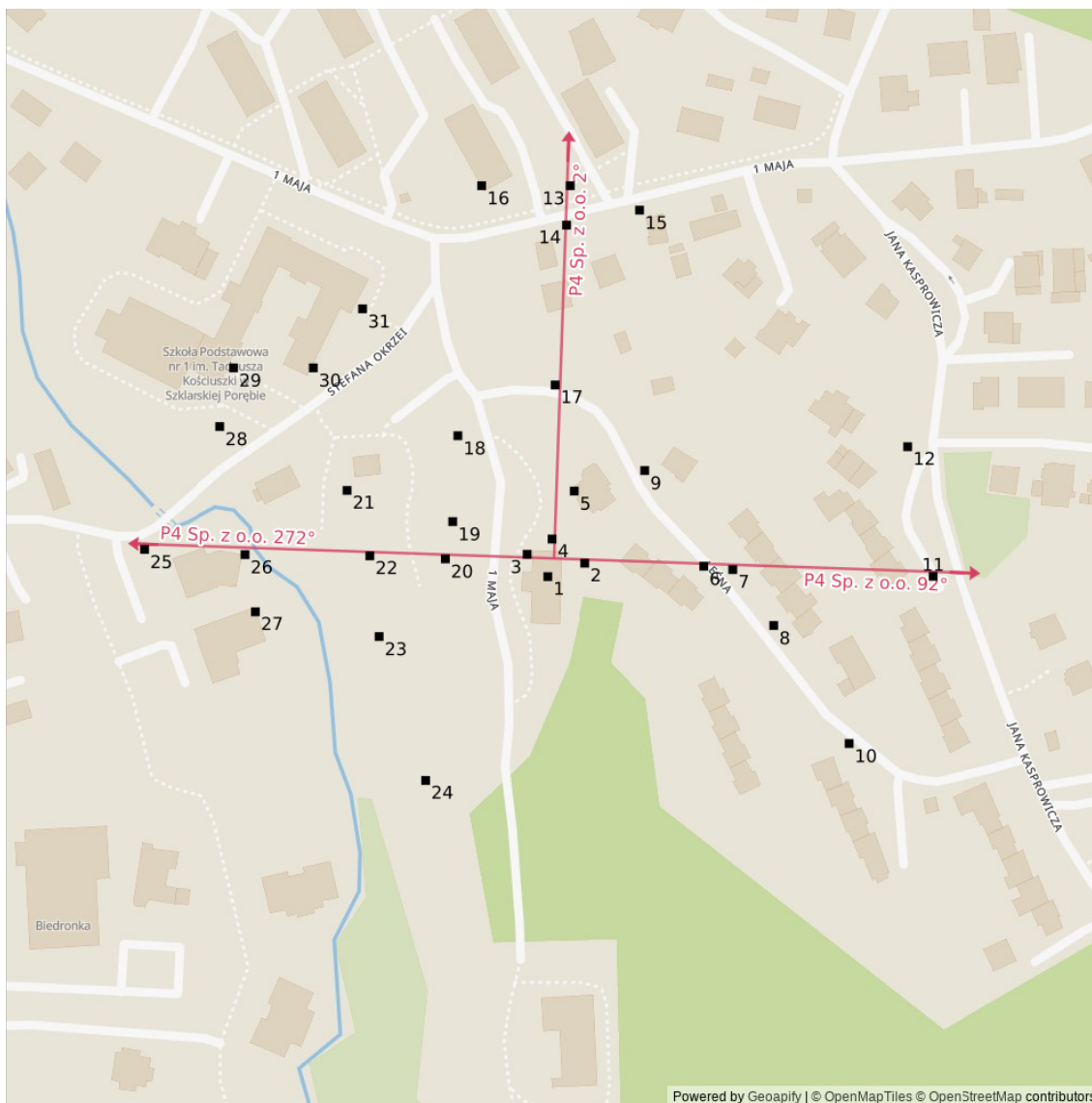
18.10.2021 14:30-15:45			
Warunki środowiskowe	Temperatura [°C]	Wilgotność [%]	Opady
Minimalna	11,0	62,8	brak
Maksymalna	11,4	63,5	

Aparatura

Tabela 2: Aparatura

MIERNIKI I SONDY					
Lp.	Typ / Nazwa	Model	Producent	Próg detekcji	Świadectwo wzorcowania
1a	miernik	NBM-520	Narda		LWiMP/W/068/20 z dn. 02.03.2020 wydane przez LWiMP Politechniki Wrocławskiej
1b	sonda	EF6091	Narda	0,60	
POZOSTAŁE					
Lp.	Typ / Nazwa	Model	Producent	Świadectwo wzorcowania	
2	termohigrometr	P330	DOSTMANN	47102/2016 z dn. 28.11.2016 wydane przez LAB-EL ELEKTRONIKA LABORATORYJNA ANDRZEJ ŁOBZOWSKI, MARIA ŁOBZOWSKA SP. J.	

Lokalizacje pionów pomiarowych



Rysunek 1: Plan terenu

Dodatkowe informacje o punktach

punkt 1: Korytarz - III p., ul. 1 Maja 36A

Wyniki pomiarów szerokopasmowych

Tabela 3: Zestawienie lokalizacji pionów pomiarowych oraz wyników pomiarów natężenia pola elektrycznego, pomiary szerokopasmowe

Nazwa	Data	Współrzędne geograficzne	E	WM _E	H	WM _H
		[°]	[$\frac{V}{m}$]		[$\frac{A}{m}$]	
1	18.10.2021	-	1,23	0,044	0,003	0,045

Ciąg dalszy na następnej stronie

Tabela 3: Zestawienie lokalizacji pionów pomiarowych oraz wyników pomiarów natężenia pola elektrycznego, pomiary szerokopasmowe (c.d.)

Nazwa	Data	Współrzędne geograficzne	E	WM _E	H	WM _H
		[°]	[$\frac{V}{m}$]		[$\frac{A}{m}$]	
2	18.10.2021	15,5307140 50,8217900	< 1,23	< 0,044	< 0,003	< 0,045
3	18.10.2021	15,5304160 50,8218190	< 1,23	< 0,044	< 0,003	< 0,045
4	18.10.2021	15,5305450 50,8218690	< 1,23	< 0,044	< 0,003	< 0,045
5	18.10.2021	15,5306600 50,8220260	1,23	0,044	0,003	0,045
6	18.10.2021	15,5313310 50,8217800	< 1,23	< 0,044	< 0,003	< 0,045
7	18.10.2021	15,5314810 50,8217690	< 1,23	< 0,044	< 0,003	< 0,045
8	18.10.2021	15,5316930 50,8215860	< 1,23	< 0,044	< 0,003	< 0,045
9	18.10.2021	15,5310250 50,8220930	< 1,23	< 0,044	< 0,003	< 0,045
10	18.10.2021	15,5320840 50,8212000	< 1,23	< 0,044	< 0,003	< 0,045
11	18.10.2021	15,5325190 50,8217470	< 1,23	< 0,044	< 0,003	< 0,045
12	18.10.2021	15,5323870 50,8221710	< 1,23	< 0,044	< 0,003	< 0,045
13	18.10.2021	15,5306390 50,8230250	1,44	0,051	0,004	0,052
14	18.10.2021	15,5306200 50,8228960	1,23	0,044	0,003	0,045
15	18.10.2021	15,5309980 50,8229450	1,23	0,044	0,003	0,045
16	18.10.2021	15,5301800 50,8230250	< 1,23	< 0,044	< 0,003	< 0,045
17	18.10.2021	15,5305610 50,8223730	< 1,23	< 0,044	< 0,003	< 0,045
18	18.10.2021	15,5300570 50,8222070	< 1,23	< 0,044	< 0,003	< 0,045
19	18.10.2021	15,5300300 50,8219260	< 1,23	< 0,044	< 0,003	< 0,045
20	18.10.2021	15,5299920 50,8218040	< 1,23	< 0,044	< 0,003	< 0,045
21	18.10.2021	15,5294830 50,8220280	< 1,23	< 0,044	< 0,003	< 0,045
22	18.10.2021	15,5296010 50,8218140	< 1,23	< 0,044	< 0,003	< 0,045

Ciąg dalszy na następnej stronie

Tabela 3: Zestawienie lokalizacji pionów pomiarowych oraz wyników pomiarów natężenia pola elektrycznego, pomiary szerokopasmowe (c.d.)

Nazwa	Data	Współrzędne geograficzne	E	WM _E	H	WM _H
		[°]	[$\frac{V}{m}$]		[$\frac{A}{m}$]	
23	18.10.2021	15,5296490 50,8215500	< 1,23	< 0,044	< 0,003	< 0,045
24	18.10.2021	15,5298900 50,8210790	< 1,23	< 0,044	< 0,003	< 0,045
25	18.10.2021	15,5284340 50,8218350	1,23	0,044	0,003	0,045
26	18.10.2021	15,5289540 50,8218180	< 1,23	< 0,044	< 0,003	< 0,045
27	18.10.2021	15,5290080 50,8216310	< 1,23	< 0,044	< 0,003	< 0,045
28	18.10.2021	15,5288230 50,8222370	< 1,23	< 0,044	< 0,003	< 0,045
29	18.10.2021	15,5288950 50,8224290	< 1,23	< 0,044	< 0,003	< 0,045
30	18.10.2021	15,5293080 50,8224290	< 1,23	< 0,044	< 0,003	< 0,045
31	18.10.2021	15,5295630 50,8226220	< 1,23	< 0,044	< 0,003	< 0,045

Podsumowanie

Na podstawie wyników pomiarów pola elektromagnetycznego przedstawionych w niniejszym raporcie o nr P4/275/2021 opracowanym przez A-CONNECT Anna Garwol-Porosa stwierdza się, że w otoczeniu stacji bazowej JEL3066 dopuszczalne poziomy pól elektromagnetycznych w środowisku, określone w przepisach wydanych na podstawie art. 122 ust. 1 ustawy z dnia 27 kwietnia 2001 r. – Prawo ochrony środowiska uznaje się za **dotrzymane**. Udokumentowano, że w żadnym pionie pomiarowym wartości wskaźnikowe WM_E oraz WM_H nie przekroczyły 1.

Osoby odpowiedzialne

Wykonanie pomiarów: b.d.

Opracowanie sprawozdania: b.d.

Autoryzacja sprawozdania: Łukasz Porosa (Kierownik ds. jakości)